

# Szybka Transformacja Fouriera w jednym i dwóch wymiarach

Vittoria Condorelli

Wydział Matematyki i Informatyki  
Uniwersytet Jagielloński



Kraków  
23 czerwca 2023

## Streszczenie

Tematem pracy jest dyskretna transformata Fouriera (DFT), ze szczególnym uwzględnieniem optymalnych metod obliczania jej. W początkowych rozdziałach zawarta jest motywacja, jak i potrzebne definicje i dowody związane z dyskretną transformatą Fouriera w jednym wymiarze. Następnie zaprezentuję algorytm pozwalający na efektywne obliczanie DFT - Szybką Transformację Fouriera (FFT) w wersji Cooleya-Tukeya. W następnych rozdziałach podobnej analizie poddany jest przypadek dwuwymiarowy. Zaproponowane są tam dwa algorytmy - użycie jednowymiarowej FFT do przypadku dwuwymiarowego i uogólnienie algorytmu Cooleya-Tukeya do dwóch wymiarów. W dalszej części znajduje się opis przykładowych zastosowań FFT. Dla funkcji jednowymiarowych jest to szybkie mnożenie wielomianów oraz dużych liczb całkowitych, w przypadku dwuwymiarowym - kompresji obrazów. Praca jest zilustrowana dołączonym plikiem `fast_fourier_transform.ipynb` zawierającym implementację i porównanie czasów wykonania zaprezentowanych metod i wizualizację ich wyników wykresami.

## Spis treści

<b>1</b>	<b>Wprowadzenie</b>	<b>2</b>
<b>2</b>	<b>Dyskretna Transformata Fouriera</b>	<b>2</b>
<b>3</b>	<b>Szybka Transformacja Fouriera</b>	<b>5</b>
3.1	Algorytm Cooleya-Tukeya o podstawie 2 . . . . .	5
3.2	Algorytm Cooleya-Tukeya o podstawie $r$ . . . . .	7
3.3	Obliczanie odwrotnej DFT za pomocą FFT . . . . .	8
<b>4</b>	<b>Wielowymiarowa Dyskretna Transformata Fouriera</b>	<b>8</b>
4.1	Intuicja w przypadku dwuwymiarowym . . . . .	9
<b>5</b>	<b>Dwuwymiarowe algorytmy FFT</b>	<b>10</b>
5.1	Algorytm "row-column" . . . . .	10
5.2	Algorytm "vector-radix" . . . . .	11
<b>6</b>	<b>Zastosowania</b>	<b>12</b>
6.1	Zastosowania jednowymiarowe . . . . .	12
6.1.1	Szybkie mnożenie wielomianów . . . . .	12
6.2	Zastosowania dwuwymiarowe . . . . .	13
6.2.1	Kompresja obrazów . . . . .	13
<b>7</b>	<b>Implementacja i wyniki</b>	<b>14</b>
<b>8</b>	<b>Podsumowanie</b>	<b>14</b>
<b>9</b>	<b>Bibliografia</b>	<b>16</b>

# 1 Wprowadzenie

Szereg Fouriera to sposób przedstawienia funkcji okresowej jako nieskończonej sumy funkcji trygonometrycznych o różnych częstotliwościach. Dla funkcji  $f$  o okresie  $P$  jest on dany wzorem:

$$f(x) = \frac{a_0}{2} + \sum_{n=1}^{\infty} \left( a_n \cos\left(\frac{2\pi nx}{P}\right) + b_n \sin\left(\frac{2\pi nx}{P}\right) \right) \quad \text{dla}$$

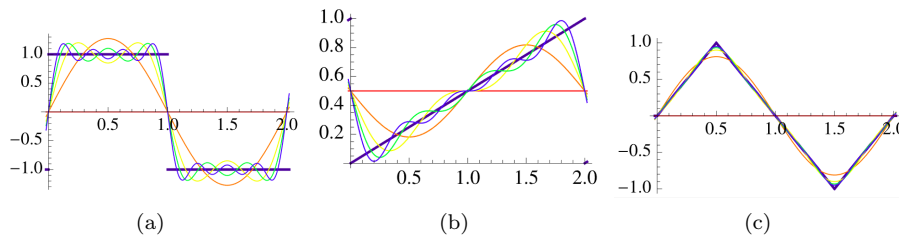
$$a_n = \frac{2}{P} \int_{-P/2}^{P/2} s(x) \cos\left(\frac{2\pi nx}{P}\right) dx$$

$$b_n = \frac{2}{P} \int_{-P/2}^{P/2} s(x) \sin\left(\frac{2\pi nx}{P}\right) dx$$

Lub alternatywnie, w formie eksponencjonalnej:

$$f(x) = \sum_{n=-\infty}^{\infty} c_n e^{\frac{2\pi i n x}{P}} \quad \text{dla} \quad c_n = \frac{1}{P} \int_{-P/2}^{P/2} f(x) e^{-\frac{2\pi i n x}{P}} dx$$

Motywacją wprowadzenia takiej reprezentacji przez Josepha Fouriera było rozwiązanie problemu z dziedziny równań różniczkowych cząstkowych - równania przewodnictwa cieplnego. Szereg Fouriera dał możliwość korzystania z dobrze zbadanych własności funkcji trygonometrycznych przy działaniach na funkcjach, które na pierwszy rzut oka nie mają z nimi nic wspólnego. Dzięki temu powstała nowa dziedzina analizy matematycznej - analiza harmoniczna, inaczej nazywana analizą Fouriera.



Rysunek 1: Wykresy kolejnych sum częściowych szeregu Fouriera przykładowych funkcji. [Wei]

W praktycznych zastosowaniach często spotykamy się z próbkowaniem funkcji. Może to wystąpić na przykład podczas dyskretnego odczytu sygnału lub w metodach numerycznych. Wtedy wszystkie nasze informacje na temat funkcji są przedstawione jako ciąg jej kolejnych wartości w punktach próbkowania. W takim przypadku, aby analogicznie do szeregu Fouriera przybliżać funkcję za pomocą funkcji trygonometrycznych możemy użyć dyskretnej transformaty Fouriera opisaną w następnym rozdziale.

## 2 Dyskretna Transformata Fouriera

**Definicja 1** (Dyskretna Transformata Fouriera).

Dla ciągu  $(a_0, a_1, \dots, a_{N-1})$  takiego, że  $a_k = f(x_k)$

gdzie  $f$  jest funkcją  $f: \mathbb{R} \rightarrow \mathbb{C}$

i gdzie  $x_k = \frac{2\pi}{N}k$  (jest to  $N$  punktów rozłożonych w równych odległościach na odcinku  $[0, 2\pi)$ )

Dyskretną transformatę Fouriera ciągu  $(a_0, a_1, \dots, a_{N-1})$  nazywamy ciąg  $(A_0, A_1, \dots, A_{N-1})$ ,  $A_i \in \mathbb{C}$  postaci:

$$A_k = \sum_{n=0}^{N-1} a_n e^{-ix_k n}$$

gdzie:  $0 \leq k < N$

Wygodnym w niektórych przypadkach zapisem powyższego wzoru jest postać, gdzie użyty jest  $N$ -ty pierwiastek prymitywny jedynki:

$$\omega_N = e^{i\frac{2\pi}{N}}$$

Wtedy:

$$A_k = \sum_{n=0}^{N-1} a_n e^{-i\frac{2\pi}{N}kn} = \sum_{n=0}^{N-1} a_n \omega_N^{-kn}$$

**Twierdzenie 1** (Odwzorowanie odwrotne).

Przekształcenie odwrotne dla dyskretnej transformaty Fouriera dane jest wzorem:

$$a_n = f(x_n) = \frac{1}{N} \sum_{k=0}^{N-1} A_k e^{ix_n k}$$

gdzie:  $0 \leq n \leq N-1$

Alternatywny zapis:

$$a_n = \frac{1}{N} \sum_{k=0}^{N-1} A_k \omega_N^{kn}$$

*Dowód.*

Niech macierz  $D$  będzie postaci:

$$D = \begin{bmatrix} \omega^0 & \omega^0 & \omega^0 & \dots & \omega^0 \\ \omega^0 & \omega^{-1} & \omega^{-2} & \dots & \omega^{-(N-1)} \\ \omega^0 & \omega^{-2} & \omega^{-4} & \dots & \omega^{-2(N-1)} \\ \vdots & \vdots & \vdots & \ddots & \vdots \\ \omega^0 & \omega^{-(N-1)} & \omega^{-2(N-1)} & \dots & \omega^{-(N-1)^2} \end{bmatrix}$$

gdzie  $\omega = e^{i\frac{2\pi}{N}}$ .

Wtedy dyskretna transformata Fouriera  $A = (A_0, A_1, \dots, A_{N-1})$  ciągu  $a = (a_0, a_1, \dots, a_{N-1})$  jest dana wzorem:  $A = Da$ . Wtedy  $a = D^{-1}A$ .

Jeśli wzór z Twierdzenia 1 jest poprawny, zachodzi  $a = \frac{1}{N} \bar{D}A$ , gdzie  $\bar{D}$  to macierz  $D$  po wykonaniu sprzężenia na każdym elemencie.

Aby pokazać prawdziwość twierdzenia, musimy więc pokazać, że  $D^{-1} = \frac{1}{N} \bar{D}$ , czyli  $\bar{D}D = IN$ , gdzie  $I$  to macierz identycznościowa.

$$(\bar{D}D)_{kl} = \sum_{n=0}^{N-1} \omega^{kn} \omega^{-ln} = \sum_{n=0}^{N-1} \omega^{n(k-l)} \quad \text{dla } k, l = 0, \dots, N-1$$

dla  $k = l$ :

$$(\bar{D}D)_{kl} = \sum_{n=0}^{N-1} \omega^0 = \sum_{n=0}^{N-1} 1 = N$$

dla  $k \neq l$ :

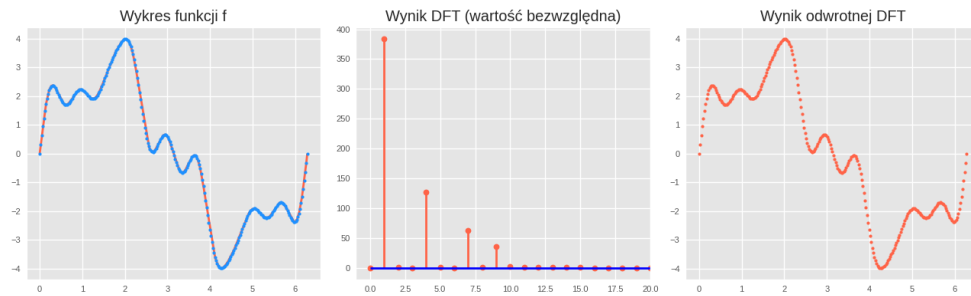
$$(\bar{D}D)_{kl} = \sum_{n=0}^{N-1} \omega^{n(k-l)} = \omega^0 \cdot \frac{\overbrace{1 - \omega^{(k-l)N}}^{=1}}{\underbrace{1 - \omega^{(k-l)}}_{\neq 1}} = 0$$

Jak widać z powyższych równości  $\bar{D}D = IN$ . □

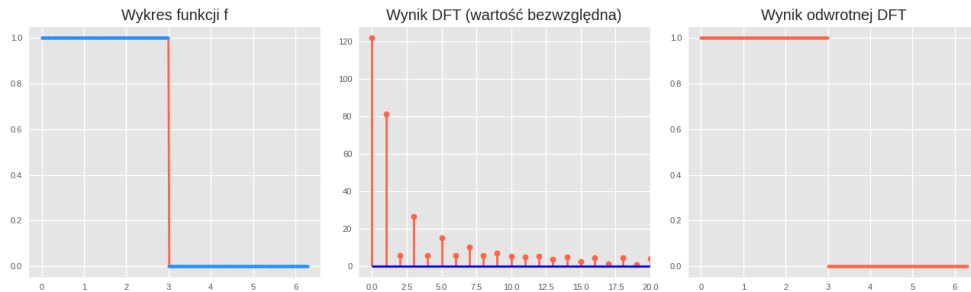
Z wzoru z Twierdzenia 1 widać, że dyskretna transformata Fouriera daje nam współczynniki dla przybliżenia funkcji  $f$  za pomocą funkcji eksponencjonalnych - interpolację trygonometryczną. Ze względu na wzór Eulera:  $e^{i\alpha} = \cos \alpha + i \sin \alpha$  możemy na nią patrzeć jako na przybliżanie funkcji sumą sinusoid o różnych częstotliwościach. Wtedy dla zespolonego współczynnika  $A_k$  przy jego postaci wykładniczej  $A_k := re^{i\phi}$  możemy następująco przekształcić fragment wzoru z Twierdzenia 1:

$$A_k e^{ix_n k} = r \cdot e^{i\phi} e^{ix_n k} = r e^{i(\phi + x_n k)} = r \cos(\phi + x_n k) + i r \sin(\phi + x_n k)$$

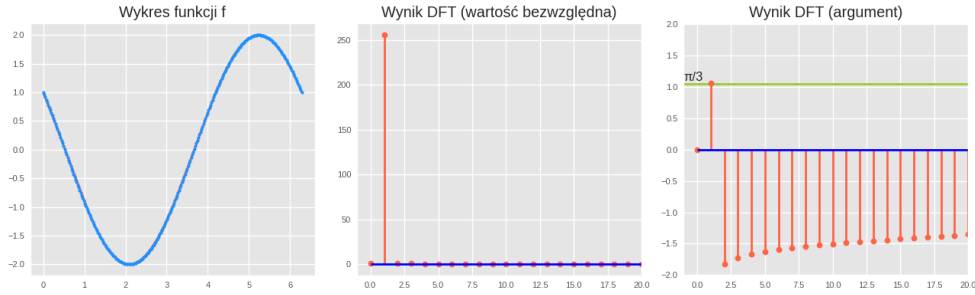
Pokazuje to, że  $r$  (wartość bezwzględna  $A_k$ ) ma wpływ na wysokość w najwyższym punkcie (amplitudę) sinusoidy o częstotliwości  $k$  (liczbie powtórzeń w przedziale  $[0, 2\pi]$ ), a  $\phi$  (argument  $A_k$ ) na jej przesunięcie.



Rysunek 2: Od lewej: wykres funkcji i jej próbek, wartości DFT i wynik odwzorowania odwrotnego dla funkcji  $f(x) = 3 \sin x + \sin(4x) + 0.5 \sin(7x) + 0.3 \sin(9x)$ . Na wykresie widoczne jest, że wartości bezwzględne dla poszczególnych częstotliwości odpowiadają amplitudom składowych sinusoid (mnożnikom przy sinusach).



Rysunek 3: Analogiczne wykresy dla funkcji schodkowej.



Rysunek 4: Wykresy funkcji, wartości bezwzględnej i argumentu wyniku DFT dla funkcji  $f(x) = 2 \cos(x + \frac{\pi}{3})$ . Widać, że jedyną częstotliwością dla której wartość bezwzględna nie jest bliska 0 jest 1, a jej argument odpowiada przesunięciu i jest równy  $\frac{\pi}{3}$ .

### 3 Szybka Transformacja Fouriera

Aby policzyć dyskretną transformatę Fouriera ciągu  $(a_0, a_1, \dots, a_{N-1})$  z definicji, potrzebujemy wykonać  $\mathcal{O}(N)$  operacji arytmetycznych podczas obliczania każdego z wyrazów  $A_k$ . Obliczenie wartości całego ciągu  $A_1, A_2, \dots, A_{N-1}$  wymaga więc złożoności rzędu  $\mathcal{O}(N^2)$ .

Jesteśmy w stanie uzyskać wynik dyskretną transformatę Fouriera w czasie  $\mathcal{O}(n \log n)$  przy użyciu algorytmu Szybkiej Transformacji Fouriera (Fast Fourier Transform, w skrócie FFT). Najbardziej popularnym algorytmem FFT jest algorytm Cooleya-Tukeya. Jest on rekurencyjny, w każdym kroku rozбивa DFT ciągu długości  $N = N_1 N_2$  na sumę  $N_1$  DFT krótszych ciągów długości  $N_2$ . Najpierw omówię przypadek, w którym postawa (po angielsku radix)  $N_1$  jest równa 2. Przypadek ten nazywany jest Radix-2 DIT (Decimation in Time).

#### 3.1 Algorytm Cooleya-Tukeya o podstawie 2

Dla uproszczenia założmy, że  $N$  jest potęgą liczby 2. Poniżej pokażę dwie własności, które pozwolą sformułować algorytm.

##### Lemat 1.

Niech  $A_0, \dots, A_{N-1}$  będzie wynikiem DFT dla ciągu  $(a_0, \dots, a_{N-1})$ , gdzie  $a_k = f(x_k)$ ,  $x_k = \frac{2\pi}{N}k$ .

Niech  $E_k$  i  $O_k$  będą  $k$ -tymi wyrazami wyniku DFT dla ciągu elementów z  $(a_0, \dots, a_{N-1})$  o kolejno parzystych i nieparzystych indeksach. Wtedy zachodzi:

$$A_k = E_k + e^{-i\frac{2\pi}{N}k} O_k \quad \forall_{k \in \{1, \dots, \frac{N}{2}\}}$$

Dowód.

$$\begin{aligned} A_k &= \sum_{n=0}^{N-1} a_n e^{-i\frac{2\pi}{N}kn} = \left( \sum_{n=0}^{N/2-1} a_{2n} e^{-i\frac{2\pi}{N}k(2n)} \right) + \left( \sum_{n=0}^{N/2-1} a_{2n+1} e^{-i\frac{2\pi}{N}k(2n+1)} \right) \\ &= \underbrace{\sum_{n=0}^{N/2-1} a_{2n} e^{-i\frac{2\pi}{N/2}kn}}_{E_k} + e^{-i\frac{2\pi}{N}k} \underbrace{\sum_{n=0}^{N/2-1} a_{2n+1} e^{-i\frac{2\pi}{N/2}kn}}_{O_k} \end{aligned}$$

□

**Lemat 2.**

$$A_{k+\frac{N}{2}} = E_k - e^{-i\frac{2\pi}{N}k} O_k$$

*Dowód.*

$$\begin{aligned} A_{k+\frac{N}{2}} &= \sum_{n=0}^{N/2-1} a_{2n} e^{-i\frac{2\pi}{N/2}(k+\frac{N}{2})n} + e^{-i\frac{2\pi}{N}(k+\frac{N}{2})} \sum_{n=0}^{N/2-1} a_{2n+1} e^{-i\frac{2\pi}{N/2}(k+\frac{N}{2})n} \\ &= \sum_{n=0}^{N/2-1} a_{2n} e^{-i\frac{2\pi}{N}k} e^{-i2\pi n} + e^{-i\frac{2\pi}{N}k} e^{i\pi} \sum_{n=0}^{N/2-1} a_{2n+1} e^{-i\frac{2\pi}{N/2}k} e^{-i2\pi n} \\ &= \sum_{n=0}^{N/2-1} a_{2n} e^{-i\frac{2\pi}{N}k} - e^{-i\frac{2\pi}{N}k} \sum_{n=0}^{N/2-1} a_{2n+1} e^{-i\frac{2\pi}{N/2}k} = E_k - e^{i\frac{2\pi}{N}k} O_k \\ &\quad \text{bo } e^{-i2\pi n} = 1, e^{i\pi} = -1 \end{aligned}$$

□

Na podstawie lematów 1 i 2 widać, że dyskretną transformatę Fouriera ciągu o długości  $N$  możemy uzyskać przez obliczenie DFT dwóch ciągów długości  $\frac{N}{2}$ . Poniżej przedstawiam algorytm:

---

**Algorytm 1** Cooleya-Tukeya, Radix 2-DIT

---

```
function FFT(a)
    even ← elementy tablicy a o parzystych indeksach
    odd ← elementy tablicy a o nieparzystych indeksach
    E ← FFT(even)
    O ← FFT(odd)
    A ← pusta tablica wielkości tej samej co a
    for i = 0, ...,  $\frac{N}{2}$  do
        A[k] = E[k] + e-i $\frac{2\pi}{N}k$  O[k]
        A[k +  $\frac{N}{2}$ ] = E[k] - e-i $\frac{2\pi}{N}k$  O[k]
    end for
    return A
end function
```

---

**Twierdzenie 2.**

Zaproponowany Algorytm 1 obliczania dyskretnej transformaty Fouriera ma złożoność  $\mathcal{O}(N \log N)$ .

*Dowód.*

Połączenie wyników dwóch mniejszych DFT, aby uzyskać każdy z elementów DFT długości  $N$  można wykonać w czasie stałym, więc obliczenie całego ciągu wymaga złożoności  $\mathcal{O}(N)$ . Poniżej pokażę, że złożoność całego algorytmu FFT wynosi  $\mathcal{O}(N \log N)$ .

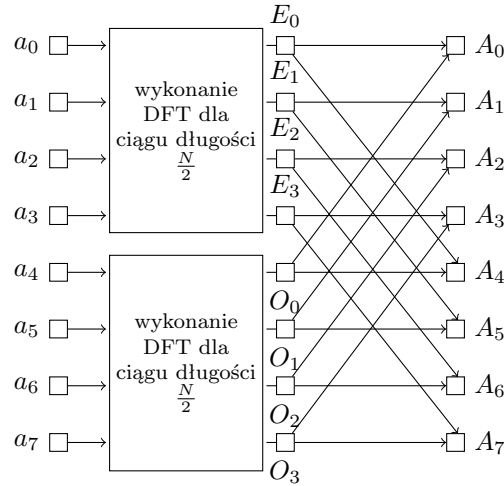
Niech  $N = 2^k$  będzie długością ciągu.

Oznaczmy przez  $T(N)$  złożoność algorytmu FFT dla ciągu długości  $N$ .

$$\begin{aligned}
T(N) &= 2T\left(\frac{N}{2}\right) + \mathcal{O}(N) \leq 2T\left(\frac{N}{2}\right) + CN \leq \\
2 \cdot \left(2T\left(\frac{N}{4}\right) + C \cdot \frac{N}{2}\right) + CN &= 4T\left(\frac{N}{4}\right) + 2CN \leq \\
4 \cdot \left(2T\left(\frac{N}{8}\right) + C \cdot \frac{N}{4}\right) + 2CN &= 8T\left(\frac{N}{8}\right) + 3CN \leq \\
&\vdots \\
&\leq 2^k T(1) + kCN = NA + CN \log_2 N = \mathcal{O}(N \log N)
\end{aligned}$$

gdzie  $C, A$  to stałe □

To w których miejscach używamy których wartości wyników DFT krótszych ciągów, aby uzyskać DFT dłuższego ciągu w algorytmach szybkiej transformacji Fouriera można przedstawić za pomocą diagramu. Ze względu na jego kształt nazywa się go motylem (butterfly diagram). Diagram dla algorytmu opisanego wyżej, dla ciągu 8 wartości wygląda następująco:



### 3.2 Algorytm Cooley-Tukeya o postawie r

Zakładając, że  $r$  jest dzielnikiem  $N$  możemy uzyskać analogiczne rozbiecie na  $r$  DFT wielkości  $\frac{N}{r}$  przez wykonanie podstawienia:

$$\begin{aligned}
n &:= rp + q && \text{dla } p = 0, \dots, \frac{N}{r} - 1, q = 0, \dots, r - 1 \\
k &:= u + v \frac{N}{r} && \text{dla } u = 0, \dots, \frac{N}{r} - 1, v = 0, \dots, r - 1
\end{aligned}$$

Wtedy wzór na dyskretną transformatę Fouriera ma postać:

$$A_{u+v \frac{N}{r}} = \sum_{q=0}^{r-1} \sum_{p=0}^{\frac{N}{r}-1} a_{rp+q} \omega_N^{-(u+v \frac{N}{r})(rp+q)} = \sum_{q=0}^{r-1} \sum_{p=0}^{\frac{N}{r}-1} a_{rp+q} \omega_N^{-urp} \omega_N^{-uq} \omega_N^{-vNp} \omega_N^{-v \frac{N}{r}q} = (*)$$

a skoro:

$$\omega_N^r = e^{i \frac{2\pi}{N} r} = \omega_{\frac{N}{r}} \quad \omega_{\frac{N}{r}}^{\frac{N}{r}} = e^{i \frac{2\pi}{N} \frac{N}{r}} = \omega_r \quad \omega_N^N = 1$$



to:

$$(*) = \sum_{q=0}^{r-1} \underbrace{\left( \sum_{p=0}^{\frac{N}{r}-1} a_{rp+q} \omega_{\frac{N}{r}}^{-up} \right)}_{\text{DFT rozmiaru } r} \omega_N^{-uq} \omega_r^{-vq}$$

Analogicznie do przypadku z postawą 2 wykonujemy  $r$  mniejszych DFT na elementach ciągu podzielonych na podzbiory o tej samej reszcie z dzielenia przez  $r$  ( $q$  w powyższym wzorze). Złożoność takiego algorytmu to również  $\mathcal{O}(N \log N)$ .

### 3.3 Obliczanie odwrotnej DFT za pomocą FFT

Ze względu na podobieństwo wzorów dyskretnej transformacji Fouriera i jej odwzorowania odwrotnego naturalne wydaje się użycie algorytmu FFT także do obliczania odwrotnej DFT. Dzięki temu moglibyśmy uzyskać złożoność  $\mathcal{O}(N \log N)$  również w tym przypadku.

Zauważmy, że dla liczby zespolonej  $x = a + bi$  zachodzi:

$$\text{swap}(x) := i \cdot \bar{x} = i(a - bi) = ia - i^2b = b + ia$$

Przemnożenie przez  $i$  sprzężenia  $x$  daje jako wynik liczbę  $x$  po zamianie części zespolonej i rzeczywistej. Wtedy też:

$$x = \text{swap}(\text{swap}(x)) = i(\overline{i \cdot \bar{x}})$$

Zastosujmy powyższą równość do wzoru na odwzorowanie odwrotne dyskretnej transformaty Fouriera:

$$\begin{aligned} a_n &= i(\overline{i \cdot \bar{a}_n}) = i \left( i \cdot \frac{1}{N} \sum_{k=0}^{N-1} A_k e^{ix_n k} \right) = i \left( i \cdot \frac{1}{N} \sum_{k=0}^{N-1} \bar{A}_k e^{-ix_n k} \right) = \\ &= \frac{1}{N} \cdot i \left( \frac{1}{N} \sum_{k=0}^{N-1} (i \cdot \bar{A}_k) e^{-ix_n k} \right) = \frac{1}{N} \cdot \text{swap} \left( \sum_{k=0}^{N-1} \text{swap}(A_k) e^{-ix_n k} \right) \end{aligned}$$

Z przekształconego wzoru powyżej widać, że odwrotną dyskretną transformatę Fouriera można policzyć przez wykonanie następujących kroków:

1. Zamianę części zespolonej i rzeczywistej wyrazów ciągu
2. Policzenie dyskretnej transformaty Fouriera za pomocą algorytmu FFT
3. Ponowną zamianę części zespolonej i rzeczywistej wyniku
4. Przemnożenie wartości przez  $\frac{1}{N}$

## 4 Wielowymiarowa Dyskretna Transformata Fouriera

W poprzednich rozdziałach omówiłam zagadnienie dyskretnej transformaty Fouriera dla ciągu jednowymiarowego. Możliwe jest analogiczne zdefiniowanie jej również dla ciągów wielowymiarowych. Szczególną uwagę skupię na ciągach dwuwymiarowych ze względu na ich zastosowania w przetwarzaniu obrazów. Jako ciąg dwuwymiarowy możemy traktować tablice pikseli reprezentujące obrazy.

**Definicja 2** (Wielowymiarowa Dyskretna Transformata Fouriera).

Dla  $d$ -wymiarowego ciągu  $(a_{n_1, n_2, \dots, n_d})_{n_j=0,1,\dots,N_j-1}$ , takiego, że  $a_{j_1, \dots, j_d} = f(x_{j_1, \dots, j_d})$ , gdzie  $f$  jest funkcją  $f: \mathbb{R}^d \rightarrow \mathbb{C}$  i gdzie  $x_{j_1, \dots, j_d} = (x_{1, j_1}, x_{2, j_2}, \dots, x_{d, j_d})$ , przy  $x_{k, j} = \frac{2\pi}{N_k} j$

Dyskretną transformatą Fouriera ciągu  $a$  nazywamy ciąg  $(A_{k_1, k_2, \dots, k_d})_{k_j=0,1,\dots,N_j-1}$  postaci:

$$A_{k_1, \dots, k_d} = \sum_{n_1=0}^{N_1-1} \sum_{n_2=0}^{N_2-1} \cdots \sum_{n_d=0}^{N_d-1} a_{n_1, \dots, n_d} e^{-ix_{1, k_1} n_1} \cdots e^{-ix_{d, k_d} n_d}$$

gdzie:  $0 \leq k_j < N_j$

W zapisie z  $n$ -tym pierwiastkiem jedyński:

$$A_{k_1, k_2, \dots, k_d} = \sum_{n_1=0}^{N_1-1} \sum_{n_2=0}^{N_2-1} \cdots \sum_{n_d=0}^{N_d-1} a_{n_1, n_2, \dots, n_d} \omega_{N_1}^{-k_1 n_1} \omega_{N_2}^{-k_2 n_2} \cdots \omega_{N_d}^{-k_d n_d}$$

**Twierdzenie 3** (Odwzorowanie odwrotne).

Przekształcenie odwrotne dla wielowymiarowej dyskretniej transformaty Fouriera dane jest wzorem:

$$a_{n_1, \dots, n_d} = f(x_{1, n_1}, \dots, x_{d, n_d}) = \frac{1}{\prod_{j=0}^d N_j} \sum_{k_1=0}^{N_1-1} \cdots \sum_{k_d=0}^{N_d-1} A_{k_1, \dots, k_d} e^{ix_{1, n_1} k_1} \cdots e^{ix_{d, n_d} k_d}$$

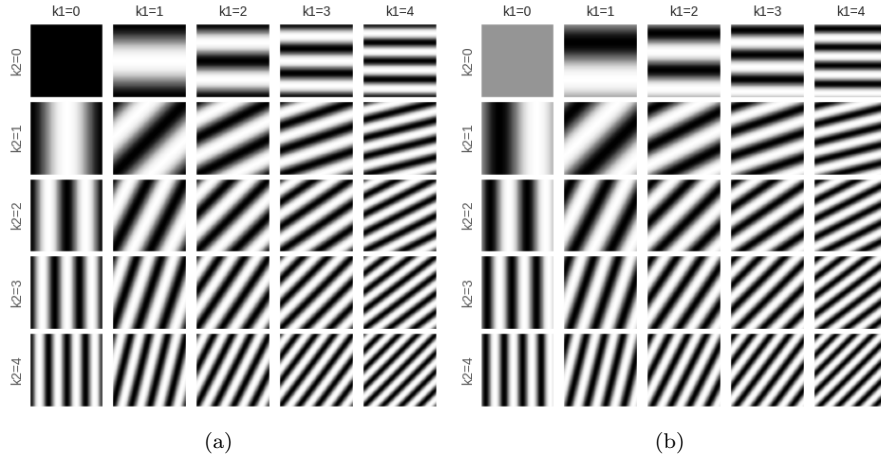
Alternatywny zapis:

$$a_{n_1, \dots, n_d} = \frac{1}{\prod_{j=0}^d N_j} \sum_{k_1=0}^{N_1-1} \cdots \sum_{k_d=0}^{N_d-1} A_{k_1, \dots, k_d} \omega_{N_1}^{k_1 n_1} \cdots \omega_{N_d}^{k_d n_d}$$

## 4.1 Intuicja w przypadku dwuwymiarowym

W przypadku jednowymiarowym możemy patrzeć na DFT jako na przedstawienie funkcji jako sumy sinusoid, ponieważ część urojona i rzeczywista wyrażenia  $e^{ix^n}$  to sinus i cosinus. Analogicznie w dwuwymiarowym przypadku możemy rozważyć jak będą wyglądały funkcje na które DFT rozkłada funkcję wejściową.

Z odwzorowania odwrotnego dwuwymiarowej dyskretniej transformaty Fouriera widać, że w tym przypadku bazą są funkcje postaci  $e^{ixk_1} e^{ixk_2}$  dla kolejnych  $k_1 = 0, \dots, N_1, k_2 = 0, \dots, N_2$ . Biorąc ich część rzeczywistą i urojoną możemy zobaczyć, że są to sinusoidalnie wygięte płaszczyzny o różnych częstotliwościach i nachyleniu (po angielsku nazywane *sinusoidal gratings*).



Rysunek 5: Części rzeczywiste (a) i urojone (b) funkcji postaci  $e^{ixk_1} e^{ixk_2}$  dla  $k_1, k_2 = 0, \dots, 4$ . Kolor biały oznacza wartość  $-1$ , a czarny  $1$ . Funkcje stanowiłyby bazę w dwuwymiarowym DFT wielkości  $5 \times 5$ .

## 5 Dwuwymiarowe algorytmy FFT

Przez  $N := N_1 N_2$  oznaczmy ilość punktów w których liczymy DFT. Obliczenie dwuwymiarowej DFT z definicji wymaga wykonania  $\mathcal{O}(N)$  operacji podczas obliczania każdego z wyrazów  $A_{k_1, k_2}$ , więc cały algorytm wymaga  $\mathcal{O}(N^2)$  operacji. Analogicznie do przypadku jednowymiarowego istnieją algorytmy pozwalające na obliczenie dwuwymiarowej DFT w czasie  $\mathcal{O}(N \log N)$ .

### 5.1 Algorytm "row-column"

Na dwuwymiarową dyskretną transformatę Fouriera możemy patrzeć jak na wykonanie jednowymiarowej DFT na wszystkich kolumnach macierzy wejściowej, a potem ponownie na wszystkich wierszach wyniku. Można to rozpisać w następujący sposób:

$$\begin{aligned} \text{DFT1}_{k_1, k_2} &:= \sum_{n_1=0}^{N_1-1} a_{n_1, k_2} \omega_{N_1}^{-k_1 n_1} \\ \text{DFT2}_{k_1, k_2} &:= \sum_{n_2=0}^{N_2-1} \text{DFT1}_{k_1, n_2} \omega_{N_2}^{-k_2 n_2} = \sum_{n_2=0}^{N_2-1} \sum_{n_1=0}^{N_1-1} a_{n_1, n_2} \omega_{N_1}^{-k_1 n_1} \omega_{N_2}^{-k_2 n_2} = A_{k_1, k_2} \end{aligned}$$

Dzięki tej obserwacji możemy użyć jednowymiarowego algorytmu FFT Cooley-Tukeya do obliczenia wielowymiarowej dyskretnej transformaty Fouriera. Konieczne będzie wtedy obliczenie  $N_1$  razy DFT wielkości  $N_2$ , a następnie  $N_2$  razy DFT wielkości  $N_1$ . Złożoność takiego rozwiązania będzie wynosiła  $\mathcal{O}(N \log N)$  dla  $N = N_1 N_2$  co pokazujemy poniżej.

*Dowód.*

$$\begin{aligned} \mathcal{O}(N_1 \log N_1) N_2 + \mathcal{O}(N_2 \log N_2) N_1 &= \mathcal{O}(N_1 N_2 \log N_1) + \mathcal{O}(N_1 N_2 \log N_2) = \\ &= \mathcal{O}(N \log N_1) + \mathcal{O}(N \log N_2) = \mathcal{O}(N \max\{\log N_1, \log N_2\}) = \\ &\text{co możemy dalej ograniczyć przez:} \\ &= \mathcal{O}(N \log N) \end{aligned}$$

□

## 5.2 Algorytm "vector-radix"

Kolejny algorytm jest generalizacją pomysłu z algorytmu Cooleya-Tukeya na więcej wymiarów. W jednowymiarowej wersji podstawą była liczba, która dzieliła długość ciągu, w wielowymiarowym algorytmie podstawą jest wektor. Dla dwuwymiarowego przypadku z podstawą  $(r_1, r_2)$  użyję podstawienia:

dla  $j \in \{1, 2\}$  :

$$\begin{aligned} n_j &:= r_j p_j + q_j & \text{dla } p_j = 0, \dots, \frac{N_j}{r_j} - 1, \quad q_j = 0, \dots, r_j - 1 \\ k_j &:= u_j + v_j \frac{N_j}{r_j} & \text{dla } u_j = 0, \dots, \frac{N_j}{r_j} - 1, \quad v_j = 0, \dots, r_j - 1 \end{aligned}$$

Wtedy wzór na dyskretną transformatę Fouriera ma postać:

$$\begin{aligned} A_{k_1, k_2} &= \sum_{n_1=0}^{N_1-1} \sum_{n_2=0}^{N_2-1} a_{n_1, n_2} \omega_{N_1}^{-k_1 n_1} \omega_{N_2}^{-k_2 n_2} = \\ &= \sum_{q_1=0}^{r_1-1} \sum_{q_2=0}^{r_2-1} \sum_{p_1=0}^{N_1/r_1-1} \sum_{p_2=0}^{N_2/r_2-1} a_{r_1 p_1 + q_1, r_2 p_2 + q_2} \omega_{N_1}^{-(u_1 + v_1 \frac{N_1}{r_1})(r_1 p_1 + q_1)} \omega_{N_2}^{-(u_2 + v_2 \frac{N_2}{r_2})(r_2 p_2 + q_2)} = \\ &= \sum_{q_1=0}^{r_1-1} \sum_{q_2=0}^{r_2-1} \sum_{p_1=0}^{N_1/r_1-1} \sum_{p_2=0}^{N_2/r_2-1} a_{r_1 p_1 + q_1, r_2 p_2 + q_2} \omega_{N_1}^{-u_1 r_1 p_1} \omega_{N_1}^{-v_1 N_1 p_1} \omega_{N_1}^{-u_1 q_1} \omega_{N_1}^{-v_1 \frac{N_1}{r_1} q_1} \omega_{N_2}^{-u_2 r_2 p_2} \cdot \\ &\cdot \omega_{N_2}^{-v_2 N_2 p_2} \omega_{N_2}^{-u_2 q_2} \omega_{N_2}^{-v_2 \frac{N_2}{r_2} q_2} = \\ &= \sum_{q_1=0}^{r_1-1} \sum_{q_2=0}^{r_2-1} \underbrace{\left( \sum_{p_1=0}^{N_1/r_1-1} \sum_{p_2=0}^{N_2/r_2-1} a_{r_1 p_1 + q_1, r_2 p_2 + q_2} \omega_{N_1/r_1}^{-p_1 u_1} \omega_{N_2/r_2}^{-p_2 u_2} \right)}_{\text{DFT}(q_1, q_2)_{u_1, u_2}} \omega_{N_1}^{-q_1 u_1} \omega_{N_2}^{-q_2 u_2} \omega_{r_1}^{-q_1 v_1} \omega_{r_2}^{-q_2 v_2} \end{aligned}$$

Powyżej jako  $\text{DFT}(q_1, q_2)$  oznaczyłam dyskretną transformatę Fouriera elementów o indeksach  $i, j$ , gdzie reszta z dzielenia  $i$  przez  $r_1$  wynosi  $q_1$ , a reszta z dzielenia  $j$  przez  $r_2$  wynosi  $q_2$ . Jak widac z powyższego wzoru, w tym algorytmie potrzebne jest policzenie  $r_1 \cdot r_2$  dwuwymiarowych DFT wielkości  $\frac{N_1}{r_1} \times \frac{N_2}{r_2}$ . Aby uzyskać DFT całego ciągu sumujemy ich wartości po przemnożeniu przez pewne współczynniki, co wymaga ilości operacji  $\mathcal{O}(N_1 N_2)$  dla stałych  $r_1, r_2$ . Złożoność całej dwuwymiarowej wersji algorytmu Cooleya-Tukeya to  $\mathcal{O}(M \log M)$  dla  $M = N_1 N_2$ . Poniżej pokażę dowód złożoności dla przypadku, gdzie  $r_1 = r_2 = 2$  (Radix-2 DIT), analogiczny do dowodu wersji jednowymiarowej.

*Dowód.*

Dla uproszczenia założmy, że  $N_1 = N_2 = N, N = 2^k$

$$\begin{aligned} T(N \times N) &= 4T\left(\frac{N}{2} \times \frac{N}{2}\right) + \mathcal{O}(N^2) \leq 4T\left(\frac{N}{2} \times \frac{N}{2}\right) + CN^2 \leq \\ &4 \cdot \left(4T\left(\frac{N}{4} \times \frac{N}{4}\right) + C \cdot \frac{N^2}{4}\right) + CN^2 = 16T\left(\frac{N}{4} \times \frac{N}{4}\right) + 2CN^2 \leq \\ &16 \cdot \left(4T\left(\frac{N}{8} \times \frac{N}{8}\right) + C \cdot \frac{N^2}{16}\right) + 2CN^2 = 64T\left(\frac{N}{8} \times \frac{N}{8}\right) + 3CN^2 \leq \\ &\vdots \\ &\leq 4^k T(1 \times 1) + kCN^2 = (*) \\ N^2 &= 4^k \quad 2k = \log_2 N^2 \quad \text{więc:} \\ (*) &= N^2 T(1 \times 1) + \frac{1}{2} CN^2 \log N^2 = \mathcal{O}(N^2 \log N^2) \end{aligned}$$

□

## 6 Zastosowania

### 6.1 Zastosowania jednowymiarowe

Algorytm FFT ma najszersze zastosowania w cyfrowym przetwarzaniu sygnałów. Rozbijanie sygnału dyskretnego na poszczególne sinusoidy pozwala na modyfikowanie lub filtrowanie go w dziedzinie częstotliwości. Na przykład przy takiej reprezentacji sygnału dźwiękowego możliwe jest filtrowanie szumów przez usunięcie niechcianych częstotliwości z DFT sygnału i uzyskanie sygnału wynikowego dzięki odwzorowaniu odwrotnemu DFT.

#### 6.1.1 Szybkie mnożenie wielomianów

Niech  $A(x) = a_0 + a_1x + \dots + a_Nx^N$  i  $B(x) = b_0 + b_1x + \dots + b_Nx^N$  będą wielomianami stopnia  $N$ . Aby uzyskać wynik ich mnożenia  $C(x) = A(x)B(x)$  jako ich reprezentacji możemy użyć dwóch tablic  $A$  i  $B$  długości  $N + 1$  zawierających współczynniki tych wielomianów i użyć poniższego algorytmu.

---

**Algorytm 2** Algorytm naiwny mnożenia wielomianów

---

```
function MULTIPLY( $A, B, N$ )  
   $C \leftarrow$  tablica wielkości  $N + 1$  wypełniona zerami  
  for  $i = 0, \dots, N$  do  
    for  $j = 0, \dots, N$  do  
       $C[i + j] \leftarrow C[i + j] + A[i] \cdot B[j]$   
    end for  
  end for  
  return  $C$   
end function
```

---

Ze względu na dwie pętle przechodzące od 0 do  $N$  w powyższym algorytmie jego złożoność dla wielomianów stopnia  $N$  to  $\mathcal{O}(N^2)$ . Jesteśmy w stanie znaleźć algorytm o lepszej złożoności niż powyższy dzięki zmianie sposobu reprezentowania wielomianu.

Dla dowolnych różnych od siebie punktów  $x_0, x_1, \dots, x_N$  i wielomianu  $A$  stopnia  $N$  ciąg par  $\{(x_0, A(x_0)), (x_1, A(x_1)), \dots, (x_N, A(x_N))\}$  daje jednoznaczna reprezentację  $A$ . Wynika to z tego, aby przejść z niej do postaci współczynników wystarczy rozwiązać układ  $N + 1$  równań o  $N + 1$  niewiadomych.

Dwa wielomiany  $A$  i  $B$  podane w takiej reprezentacji jesteśmy w stanie wymnożyć w czasie  $\mathcal{O}(N)$  wykonując  $N + 1$  mnożeń wartości wielomianów w punktach, ponieważ reprezentacja wielomianu  $C = A \cdot B$  to:

$$\{(x_0, A(x_0) \cdot B(x_0)), (x_1, A(x_1) \cdot B(x_1)), \dots, (x_N, A(x_N) \cdot B(x_N))\}$$

Zamiana z reprezentacji współczynnikowej na reprezentację wartościami punktów wymaga ewaluacji wielomianu w  $N + 1$  punktach, a złożoność pojedynczej takiej operacji to  $N + 1$ , więc mimo powyżej opisanej zalety tej reprezentacji nadal złożoność mnożenia wielomianów w ten sposób to  $\mathcal{O}(N^2)$ .

Aby zredukować złożoność zamiany do  $\mathcal{O}(N \log N)$  możemy użyć algorytmu FFT. Dla  $a_0, \dots, a_N$  będących współczynnikami wielomianu  $A$  dyskretna transformata Fouriera tego ciągu to ciąg  $\sum_{n=0}^N a_n \omega_{N+1}^{-kn}$  dla  $k = 0, \dots, N$ . Jest to więc ciąg wartości wielomianu w punktach  $\omega_{N+1}^0, \omega_{N+1}^{-1}, \dots, \omega_{N+1}^{-N}$ . Użycie tych punktów do reprezentowania wielomianów daje nam następujący algorytm:

---

**Algorytm 3** Szybkie mnożenie wielomianów z użyciem FFT

---

```
function MULTIPLY( $A, B, N$ )  
   $A' \leftarrow FFT(A)$  ▷ zmiana reprezentacji  
   $B' \leftarrow FFT(B)$   
   $C \leftarrow$  pusta tablica wielkości  $N + 1$   
  for  $i = 0, \dots, N$  do  
     $C[i] = A[i] \cdot B[i]$   
  end for  
   $C' \leftarrow InverseFFT(C)$  ▷ powrót do reprezentacji współczynnikami  
  return  $C'$   
end function
```

---

Złożoność powyższego algorytmu to  $2\mathcal{O}(N \log N) + \mathcal{O}(N) = \mathcal{O}(N \log N)$ .

Algorytmu tego możemy użyć także do mnożenia dużych liczb całkowitych. Na liczby w systemie dziesiętnym możemy patrzeć jak na wartości w punkcie 10 wielomianu, którego kolejne współczynniki to cyfry danej liczby. Z tego powodu aby wykonać szybkie mnożenie dwóch liczb wystarczy policzyć DFT ciągu cyfr obu liczb, przemnożyć wartości na tych samych indeksach i uzyskać cyfry wyniku odwzorowaniem odwrotnym DFT.

## 6.2 Zastosowania dwuwymiarowe

Na obrazy rastrowe możemy patrzeć jako na dwuwymiarowe macierze wartości oznaczających kolory poszczególnych pikseli. Analogicznie do przetwarzania jednowymiarowych sygnałów FFT 2D pozwala na modyfikowanie obrazów w dziedzinie częstotliwości. Dzięki temu główne zastosowania dwuwymiarowego FFT są związane z przetwarzaniem obrazów. Poniżej pokażę w jaki sposób możemy użyć dyskretniej transformaty Fouriera do kompresji stratnej bitmapy.

### 6.2.1 Kompresja obrazów

Da się zauważyć, że w rozkładzie obrazów przez FFT występuje wiele małych wartości, które w niewielki sposób wpływają na odbiór obrazu przez człowieka. Są one często związane z bardzo wysokimi częstotliwościami. Zamiana takich wartości na zera nie zmienia znacznie tego jak wygląda obraz, a pozwala często na usunięcie większości wartości z DFT. Taka operacja pozwoli na zapisanie wartości DFT na znacznie mniejszej ilości pamięci, ze względu na niesienie mniejszej liczby informacji. Możemy to zrobić przez wybór małej stałej i zamianę na zera wszystkich elementów mniejszych od niej. Poniżej prezentuję wyniki testu takiego algorytmu kompresji, którego implementacja znajduje się w pliku `fast_fourier_transform.ipynb`.



Rysunek 6: Porównanie obrazu oryginalnego z obrazami uzyskanymi przez odwrotne FFT po zamianie kolejno 66% i 95% najmniejszych wartości jego DFT na zera.

Jeden z najczęściej stosowanych algorytmów kompresji stratnej obrazów - JPEG - używa podejścia podobnego do uproszczonej metody opisanej powyżej. Użyta tam transformata to dyskretna transformata cosinusowa (DCT) analogiczna do DFT, działająca na ciągach liczb rzeczywistych.

## 7 Implementacja i wyniki

Do pracy dołączam plik Jupyter Notebook `fast_fourier_transform.ipynb`. Zawarłam w nim przykładową implementację metod obliczania dyskretnych transformaty Fouriera, które opisałam powyżej. Są to dla przypadku jednowymiarowego - algorytm Cooleya-Tukeya o podstawie 2, a dla dwuwymiarowego "row-column" i "vector-radix" również przy podstawie 2.

Znajdują się w nim również porównania czasów wykonania tych algorytmów z wersjami z definicji i wizualizacja ich wyników za pomocą wykresów. W przypadku jednowymiarowym podczas porównywania czasów użyłam ciąg długości 2048. Wyniki testu były następujące.

Algorytm	Czas wykonania
Obliczanie z definicji	2.633160687 s
Szybka Transformata Fouriera	0.080158529 s

Zgodnie z oczekiwaniami czas wykonania FFT był znacznie krótszy niż wersji obliczanej z definicji ze względu na złożoność  $\mathcal{O}(N \log N)$ .

W przypadku dwuwymiarowym wykonałam dwa testy. W pierwszym użyłam danych rozmiaru  $32 \times 32$  i porównałam dwa omówione algorytmy FFT z obliczaniem z definicji. Poniżej znajdują się wyniki testu.

Algorytm	Czas wykonania
Obliczanie z definicji	9.858511204999985 s
FFT w wersji "row-column"	0.068875935999983 s
FFT w wersji "vector-radix"	0.030879343000009 s

Z wyników testu widać, że nawet dla tak małego rozmiaru obrazu czas obliczania dwuwymiarowej DFT z definicji drastycznie różni się od czasów obu algorytmów szybkiej transformaty Fouriera. Aby dokładniej porównać ich czasy wykonania przeprowadziłam kolejny test bez zawierania w nim wersji obliczanej z definicji. Użyłam danych rozmiaru  $1024 \times 1024$ . Wyniki testu były następujące.

Algorytm	Czas wykonania
FFT "row-column"	74.921213618 s
FFT "vector-radix"	32.930432062 s

Z powyższego testu widać, że pomimo tego, że oba algorytmy mają złożoność  $\mathcal{O}(N \log N)$  czas wykonania algorytmu "vector-radix" okazał się mniejszy. Można pokazać, że algorytm ten wymaga w ogólności wykonania mniejszej ilości operacji niż wersja "row-column".

## 8 Podsumowanie

Powyższa praca zawiera wprowadzenie do zagadnień związanych z dyskretną transformatą Fouriera funkcji jedno i wielowymiarowych. Zgodnie z tematem zaprezentowane są w niej metody obliczania jej algorytmami Szybkiej Transformaty Fouriera. W jednowymiarowym przypadku jest to algorytm Cooleya-Tukeya, a w dwuwymiarowym

- "row-column" i "vector-radix". W pracy zawarte są uzasadnienia poprawności tych metod oraz dowody złożoności, dzięki którym widać zyski możliwe do uzyskania dzięki ich używaniu. Podane są również konkretne przykłady zastosowań dyskretnej transformaty Fouriera, w których można wykorzystać algorytmy FFT. Kod ilustrujący pracę jest zawarty w dołączonym pliku `fast_fourier_transform.ipynb`.



## 9 Bibliografia

### Źródła

- [T H89] R. L. Rivest T. H. Cormen C. E. Leiserson. "Wprowadzenie do algorytmów". 1989.
- [Sza08] J. Szabatin. "Podstawy teorii sygnałów". 2008.
- [Pud17] S. Pudasaini. "Computation of IDFT through forward DFT". 2017. URL: [https://www.researchgate.net/publication/319226292\\_Computation\\_of\\_IDFT\\_through\\_forward\\_DFT](https://www.researchgate.net/publication/319226292_Computation_of_IDFT_through_forward_DFT).
- [Jia20] Yan-Bin Jia. *Polynomial Multiplication and Fast Fourier Transform*. 2020. URL: <https://faculty.sites.iastate.edu/jia/files/inline-files/polymultiply.pdf>.
- [Bou] A. Bouchaleun. "An Elementary Introduction to Fast Fourier Transform Algorithms". URL: <https://math.uchicago.edu/~may/REU2019/REUPapers/Bouchaleun.pdf>.

### Grafiki

- [Wei] Eric W. Weisstein. "Fourier Series." *MathWorld—A Wolfram Web Resource*. URL: <https://mathworld.wolfram.com/FourierSeries.html>.